

九州大学工学部 学正員 ○藤津卓司
正会員 吉村亮蔵
学正員 大塚久哲

1. すこがき

近年都市において、すぐれたねじり剛性を持った箱桁橋が高架道路構造として、さかんに採用されており、設計にあたっては、従来の断面形状不变の仮定に基づいた曲げねじり理論により解析が行われているようである。コンクリート箱桁橋においては、特に、ダイヤフレムを用い、自らのナーチニ剛性により、変形に抵抗する構造として、断面を決定した方が、施工上り、また、コンクリートの特性を生かす上で、経済的と考えられる。そこで断面変形を考慮した解析が必要となり、これには、有限要素法、折板理論などがある。

ここでは、まずY.K. Cheungによて提唱されたF.S.M.を用いて、断面変形が、垂直応力(せり応力+曲げ応力)に及ぼす影響を調べ、曲げねじり理論による値、及び、実験結果との比較を行ない、ダイヤフレムを持たない場合の断面変形の考慮の必要性を確めた。次にF.S.M.と結合法を組み合わせることにより、ダイヤフレムを考慮した解析を試み、これを、実験値と比較して、理論の裏付けを行なう。たゞこの手法によれば、ダイヤフレムの個数と、断面保持の関係、及び、ダイヤフレム付多スパン連続曲線箱桁橋の解析も可能となる。

2. ダイヤフレムの付いた曲線箱桁橋のF.S.M.に対する解法

(i) 解析上の仮定

(a) ウエブとフランジは、剛性あるいは半径方向にのみ、剛性が変化し得るものとする。

(b) 箱桁は、同心円の内弧を持つ平面板及び、曲面板からなり、エンドダイヤフレムは、橋軸に直交しているものとする。

(c) エンドダイヤフレムは、面内方向には、剛性が無限大、面外方向には、剛性を持たない構造とする。

一般に、曲線箱桁橋のウェブは、面外の曲率を持つ曲面板であるが、上下フランジは、面内のみで、曲率を持つ扁形板であるので、面内応力と曲げ応力が、連成している。そこで、個々に変位函数を定義し得る。

(ii) 上下フランジの変位函数

(a) 面内の変位

$$U_m = \left\{ \left(1 - \frac{R}{d}\right) U_{im} + \frac{R}{d} U_{jm} \right\} \sin \frac{m\pi\theta}{\alpha} \quad (1)$$

$$V_m = \left\{ \left(1 - \frac{R}{d}\right) V_{im} + \frac{R}{d} V_{jm} \right\} \cos \frac{m\pi\theta}{\alpha} \quad (2)$$

(b) 面外の変位

$$W_m = \left\{ \left(1 - \frac{R^2}{d^2} + \frac{1}{4} R^2\right) W_{im} + b \left(R - \frac{1}{4} R^2 + \frac{3}{4} R^2\right) Y_{im} + \left(\frac{3}{4} R^2 - \frac{1}{4} R^2\right) Y_{jm} + b \left(\frac{3}{4} - \frac{R^2}{d^2}\right) Y_{jm} \right\} \sin \frac{m\pi\theta}{\alpha} \quad (3)$$

ここで、 $R = (Y_i - Y_j)/b$, $b = (Y_i - Y_j)/z$, m : 調和項数。

(iii) ウエブの変位函数

$$U_m = \left\{ \left(1 - \frac{R}{d}\right) U_{im} + \left(\frac{R}{d}\right) U_{jm} \right\} \sin \frac{m\pi\theta}{\alpha} \quad (4)$$

$$V_m = \left\{ \left(1 - \frac{R}{d}\right) V_{im} + \left(\frac{R}{d}\right) V_{jm} \right\} \cos \frac{m\pi\theta}{\alpha} \quad (5)$$

$$W_m = \left\{ \left(1 - \frac{R^2}{d^2} + \frac{Z^2}{d^2}\right) W_{im} + \left(Z - \frac{Z^2}{d} + \frac{Z^2}{d^2}\right) Y_{im} + \left(\frac{Z^2}{d^2} - \frac{Z^2}{d}\right) Y_{jm} + \left(\frac{Z^2}{d} - \frac{R^2}{d^2}\right) Y_{jm} \right\} \sin \frac{m\pi\theta}{\alpha} \quad (6)$$

以上(iii)の変位函数を変位-ひずみの関係式に代入し、エネルギー原理を、

Fig. 2 A Flang Strip

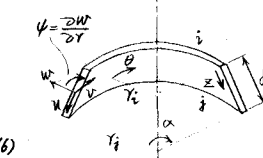
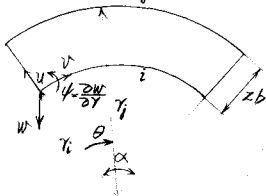
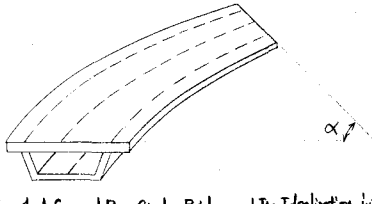


Fig. 3 A Conical Web Strip

用いることにより、フランジ及び、ウェブの剛性マトリクスを得る。

3. 種数個のダイヤフラムを持つ箱形橋の解法（例として2個のダイヤフラムを持つ場合を考える。）

(i) 解法上の仮定

ダイヤフラムと箱桁は、面内力 P , Q の二つで結合されているものとし、面内曲げモーメント、及び、面外方向の垂直力の結合はしない。

(ii) 解法

(a) 外力系 (X_0 系)

ダイヤフラムを取り除いた箱桁に、与えられた外荷重が、作用する場合を、F.S.M.で解く、各 nodal line とダイヤフラムとの交点の変位 $\{\delta_0\}$ を求める。

$$\{\delta_0\} = \{U^0_{11} W^0_{11} U^0_{12} W^0_{12} \dots U^0_{1n} W^0_{1n} U^0_{21} W^0_{21} U^0_{22} W^0_{22} \dots U^0_{2n} W^0_{2n}\}^T \dots (7)$$

(b) X_1 系

ダイヤフラム及び、外荷重を取り除いた、箱桁に、不静定余力 $\{\bar{X}_1\} = \{P^1_{11} Q^1_{11} P^1_{12} Q^1_{12} \dots P^1_{1n} Q^1_{1n} P^1_{21} Q^1_{21} P^1_{22} Q^1_{22} \dots P^1_{2n} Q^1_{2n}\}^T \dots (8)$

をかけ、関係式； $\sum_m \{\delta_{1m}\} = \sum_m \{F_{1m}\} \{\bar{X}_{1m}\}$

$$= \frac{1}{\alpha} \sum_m \left[\begin{array}{c} \{F_{1m}\} \\ 0 \end{array} \right] \left[\begin{array}{ccccc} 0 & 0 & 0 & 0 & 0 \\ 0 & 0 & 0 & 0 & 0 \\ 0 & 0 & 0 & 0 & 0 \\ 0 & 0 & 0 & 0 & 0 \\ 0 & 0 & 0 & 0 & 0 \end{array} \right] = \{F_{11}\} \left[\begin{array}{c} P^1_{11} \\ Q^1_{11} \\ P^1_{12} \\ Q^1_{12} \\ \vdots \\ P^1_{21} \\ Q^1_{21} \\ P^1_{22} \\ Q^1_{22} \\ \vdots \\ P^1_{2n} \\ Q^1_{2n} \end{array} \right] \dots (9)$$

にあたる換算柔軟性マトリクス $[K_1]$ を求める。

(c) X_2 系

ダイヤフラムだけを取り出し、有限要素法により、ダイヤフラムの剛性マトリクス $[K_2]$ を求めると、

$$\{\bar{X}_2\} = [K_2] \{\delta_2\} \dots (10)$$

(d) 不静定余力 $\{\bar{X}_1\}$ を求める。

変位の適合条件より； $\{\delta_0\} + \{\delta_1\} = \{\delta_2\} \dots (11)$

箱桁とダイヤフラムの間のカクフリ合条件より； $\{\bar{X}_1\} + \{\bar{X}_2\} = 0 \dots (12)$

式(11), (12)を式(10)に代入して； $\{\bar{X}_1\} = -(\mathbf{I} + [K_2])([F_1])^{-1} [\bar{X}_1] \{\delta_0\} \dots (13)$

する不静定余力を求め、与えられた外荷重と、力 $\{\bar{X}_1\}$ を同時に箱桁にかけ、解析すればよいとする。

4. 模型実験 (直線一室箱桁)

Fig. 7 に示す断面寸法を持つスペン 120.0 cm の一室箱桁を、アクリル樹脂により作成し、ダイヤフラムは、スペン中央に設けた。Fig. 8 は、Fig. 7 の載荷状態における下フランジ隅部の、面内垂直力の実験値を、曲げねじり理論及び、F.S.M.による計算値と比較したものである。併し、F.S.M.による理論計算値が大きいのである。但し、F.S.M.による理論計算値が大きいのである。

(参考文献) The Analysis of Cylindrical Orthotropic Curved Bridge Decks
31-1 1971. Y.K. Cheung
Analysis of Curved Box Girder Bridges by Finite Strip Method.
31-1 1971. Y.K. Cheung

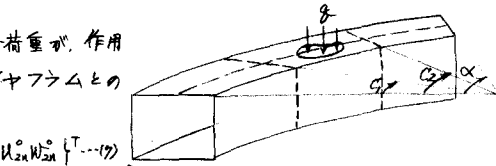
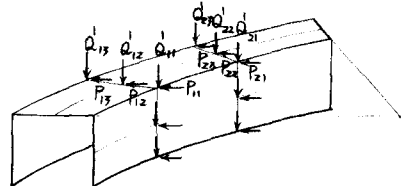


Fig. 4 外力系



《記号の説明》

U_i^n → 素
 U_{ij}^n → 結合点の番号
 U_i^n → ダイヤフラムの番号

Fig. 5 X_1 系

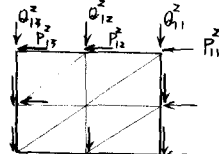


Fig. 6 ダイヤフラムの分割の仕方

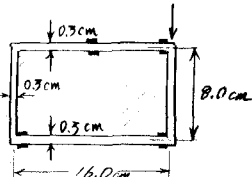


Fig. 7

